

火星軌道計算法 及其表面色紋變化的分析

何耀坤
臺南市私立光華女中

今年下半年有了火星和地球的大接近，是詳細觀測火星星面的難得機會。火星和地球遠離時其運行很慢，但是接近地球時如疾風迅雷，超越群星，又如妖星在夜空亮相。其光度在最遠時二等，接近時達負三等，有一百倍的光度變化。火星在遠方時，於拂曉前在東空，每天向東移動。開始接近地球時，反轉向西逆行，隨時由曉空之星轉為宵空之星。火星接近地球後暫時逆行，不久後轉為順行而慢慢遠離開。火星的運行如此多變，因爲其軌道在地球外側，並且爲橢圓軌道，在 Kepler (1571 ~ 1630 年德國天文學家) 以前是被認爲很難計算的。後來 Kepler 選擇火星爲研究對象，導致他發現所謂 Kepler 三法則。

火星表面的斑紋和色彩變化是很微妙的，其五分之三部分呈紅橙色，其餘部分有淡暗紋，極少部分爲白色和黃白色。若按照月球面而推測，淡暗都是海（是無水的旱海），明亮度大的地域是大陸或沙漠，兩極地白色部分稱極冠，暗色斑紋內部黃色或白色部以及稍明亮部分爲島或高原。本文後半是根據各種物理觀測結果，分析火星表面的斑紋和色彩變化的原因和臆測，其正確判斷要靠巨大口徑的反射望遠鏡的慎重觀測才能結論，當然最後要等候人登陸後一切能得證明。

一、火星軌道的計算法

Kepler 用觀測值直接計算火星的軌道，他假設地球軌道爲圓形，從地球觀測火星之位置，將一公轉週期爲一組，用數組製作火星軌道圖。如圖 1，火星在 A 點，從地球

aA 方向觀測；等火星繞一週軌道後回到 A 點時地球上的在 a' 點，從 a'A 方向觀測。地球上的位置 a 和 a' 兩點能知正確，其觀測值也正確，火星公轉週期也有精密測定。那麼從 a 和 a' 向火星方向畫 aA 和 a'A，求其交點 A 就可得火星的正確位置。Kepler 用同樣方法作圖 B，C，D……最後成功於求算出火星軌道。

火星軌道的黃道夾角為 $1^{\circ} 51'$ ，其昇交點在黃經 $49^{\circ} 15'$ 其正確值可從下式求算。

$$\begin{aligned} \text{黃道夾角 } i &= 1^{\circ} 51' 0.1'' 20 - 2.^{\circ} 430T \\ &\quad + 0.^{\circ} 0454 T^2 \end{aligned}$$

$$\text{昇交點黃經 } \Omega = 48^{\circ} 47' 11'' 19 + 2775.^{\circ} 57T - 0.^{\circ} 005T^2 - 0.^{\circ} 0192T^3$$

上式中 T 是所需的年為西曆 t 年時，以 $(t - 1900.0)/100$ 所求的數值。因為火星軌道的橢圓長半徑 a (平均距離) 約為 1.52 天文單位，所以實際距離等於 $1.496 \times 10^8 \text{ Km} \times 1.52 \approx 2279 \times 10^8 \text{ Km}$ 。軌道的離心率 e 是 0.093，正確值如下。

$$e = 0.09331290 + 0.000092064T - 0.000000077T^2$$

e 是橢圓長半徑為 a，短半徑為 b 時，從 $e = \frac{\sqrt{a^2 - b^2}}{a}$ 求得。至於橢圓的中心至

焦點的距離，從 ae 可求算，如 $ae = 2.279 \times 10^8 \text{ Km} \times 0.09337$ ，是離 2128 萬公里地方有橢圓軌道焦點，太陽是其中一個焦點，所以火星的離心率在各行星中，算是非常大的（表 1）。因此近日點和遠日點的距離差是 ae 之兩倍，等於 4256 萬公里（於地球為 500 萬公里），所以投射火星面的日光量之比為 1 : 1.45，在近日點比遠日點增加 45%。同時火星的公轉速度，其平均為 24.2 Km/s ，在近日點為 26.6 Km/s ，在遠日點為 22.0 Km/s ，有很大的差。設平均距離時的公轉速度為 V，在近日點和遠日點的公轉速度各為 V_p 和 V_a ，

$$\text{那麼 } V_p = V \times \sqrt{\frac{1+e}{1-e}}$$

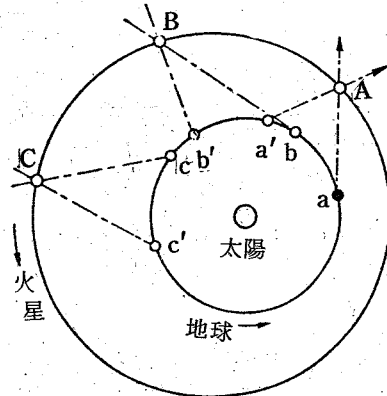


圖 1 火星軌道的作圖

表 1 各行星的離心率

水 星	0.20563	土 星	0.05568
金 星	0.00679	天王星	0.04721
地 球	0.01673	海王星	0.00857
火 星	0.09337	冥王星	0.25024
木 星	0.04843	月	0.05490

e 在 0 以上，1.0 以下時為橢圓

e = 1.0 時為拋物線

e 在 1.0 以上時，為雙曲線

$$V_a = V \times \sqrt{\frac{1-e}{1+e}}$$

火星的公轉週期為 687 日，火星和地球一日間各繞太陽的角度如下：

$$\text{火星} \cdots \cdots 360^\circ \div 687 \text{ (日)} = 0.^{\circ} 524$$

$$\text{地球} \cdots \cdots 360^\circ \div 365 \text{ (日)} = 0.^{\circ} 986$$

那麼兩星在一日間的角運動差如下：

$$0.^{\circ} 986 - 0.^{\circ} 524 = 0.^{\circ} 462$$

所以每天地球以此角速後之差而追火星，經 $360^\circ \div 0.^{\circ} 462 = 779.9$ (日)，地球和火星再回到和出發時同一排列，稱會合週期。因此火星每隔 780 日 (約二年二個月) 週期反覆接近地球，是各行星中週期最長的。正式計算時，設會合週期為 S，地球和行星的公轉週期各為 T_A 和 T_B 時，可從下式求算。

$$\frac{1}{S} = \frac{1}{T_A} - \frac{1}{T_B}$$

上式是外行星之計算式，若 T_B 為內行星的公轉週期時，

$$\frac{1}{S} = \frac{1}{T_B} - \frac{1}{T_A}$$

表 2 各行星的會合週期

	公轉週期	會合週期		公轉週期	會合週期
水星	88 (日)	115.9 (日)	土星	29.40 (年)	378.1 (日)
金星	225 (日)	583.9 (日)	天王星	84.62 (年)	369.6 (日)
火星	687 (日)	779.9 (日)	海王星	165.25 (年)	367.5 (日)
木星	11 年 86	398.9 (日)	冥王星	250.44 (年)	366.7 (日)

二、火星表面的色紋變化

1 火星上的暗色斑紋

(1) 暗色部的真相

① 暗色部非海洋

火星暗部沒有水面日光反射，色紋濃度和形色有季節變化。據光譜分析，火星大氣

沒有多量水蒸氣，所以暗部非海洋。

(2) 暗色部是否植物群落

雖然火星表面的斑紋及顏色濃淡有季節變化，相似地球上植物季節變化，但是據紅外線攝影，其斑紋濃厚而鮮明，沒有葉綠素的反射特性。暗色部如果是玄武岩等暗色岩盤，必會被砂塵掩沒，若是低等植物群落，可能會維持半永久的暗色部。據 1948 年 G. P. Kuiper 的火星斑紋光譜觀察，和 B. Lyot 所拍攝的照片比較研究，證明火星暗色部有類似地衣類 Lichen 的反射能。圖 2 中高等植物的反射光的光譜有水和葉綠素的光反射和吸收，但是低等植物有均一反射，和火星暗色部分相似。所以火星上的斑紋部也許是缺乏水分和葉綠素的低等植物所構成。火星上的 Syrtis Major 或 M. Acidalium 等部分，在破曉和黃昏時有許多雲霧產生，也許這些較大的暗紋地方是低濕地帶而有植物群。

近年來對火星的物理觀測技術進步，尤其光譜觀測很精密，已知火星大氣很乾燥，氧氣只有地球的 $1/1000$ 以下，因此火星上有生物之可能性很低。但是根據法國 Lyot 的後繼者 A. Dollfus 的偏光觀測，火星表面的暗紋偏光曲線在春秋季有很大的不同，可能火星上暗紋是由某種微生物所構成。圖 3 的○是北緯 45° 附近的斑紋，●是赤道附近的。

對這方面，蘇俄於 1947 年設宇宙植物學研究所，用極低溫、低濕度、氣溫激變條件下的植物及微生物生態研究。結論認為地球上的北極海沿岸或帕米爾高原山頂和谷，或撒哈拉沙漠的砂粒上的植物和微生物對環境的適應性相比，火星世界的寒冷、乾燥、稀薄大氣並非困難。在火星世界裏可能有生物雖然具有葉綠素，能吸收自紅外線至綠色光範圍波長能量，又能吸收大氣中水蒸氣並儲貯氧體在體內，所以認為火星上的暗紋由火星特有的高等植物構成（1955 年）。據日本宮本正太郎氏說明，火星上可分暗紋部和明亮部

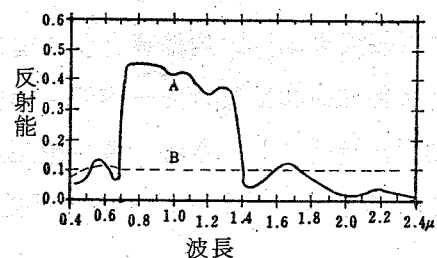


圖 2 比較高等植物（實線）和地
衣類（點線）的反射能。

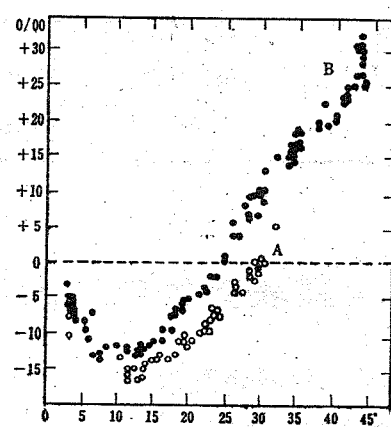


圖 3 火星暗紋部的偏光曲線和季
節變化。（A. Dollfus）

如地球上的陸地和海洋。原始地殼冷却凝固時輕又明色的花崗岩浮上面，重又暗色的玄武岩沈下，前者成陸地，後者成海底。那麼陸地部成高原，岩石風化成沙漠，大洋部分是低凹地而呈暗色。暗色部分低凹地吸收多量太陽能量成溫暖地域，成為適合生物生存的環境，以上問題今後必要從生物學方面更加探討。火星暗紋是否由植物或微生物構成，現在未有可靠的觀測事實能決定。

(2) 暗紋部的色彩變化

火星世界從冬至春初時呈淡青灰色，春分時北極冠開始溶解，所產生的水蒸氣影響暗紋色彩。屆時極冠周圍出現深黑色環，同時附近斑紋呈綠色，這種綠色化情形漸漸南下，顏色變青綠。到初夏時綠化理象會越過赤道至南半球，暗色部的濃度達最高。入秋後綠色開始變淡，晚秋時呈褐色，冬至時再回復青灰色。（據 P. Lowell, G. Schiaparelli, E.M. Antoniadi）。多年來支持此說的人多，於 1925 年 W.H. Pickering 提出下列修正。火星從冬至春夏間的變色過程如上述，但是到晚夏時花紋褪色呈褐色或青灰色又淡化。過了秋分後綠色很快恢復，晚秋後褪色，冬季變青灰色。Pickering 假設植物說，提所謂極冠交替說如下。因為初夏火星面受北極的水蒸氣和日光，植物生長繁茂呈青綠色。到夏季時北極冠消失前，從極地流出的水蒸氣團越過赤道到南極附近，集積開始形成南極冠。從夏季至秋分間南極急速溶解，火星赤道附近至北半球一帶受強烈日射和乾燥，火星植物呈現夏枯現象。到秋分後就接受從南極冠來的水蒸氣，植物快速恢復。總而言之，火星斑紋的色彩變化極微妙，色彩的正確判斷困難。

(3) 暗紋部的形狀變化

火星表面暗紋常有形狀和大小之變化，位置也稍有變動，形狀變化有下列四種類型。

① 季節變化

是完全的週期性變化，大部分火星上暗紋形狀變化屬於此型。例如阿基達里亞海 (*M. Acidalium*) 在春季呈吊鐘形，至夏至變最大，至秋季就收縮成五角形（圖 4），這事實可證明 Pickering 修正說的正確。其他如 *Elysium* 的變形，湖沼、泉之出沒，濃化，淡化都隨季節變遷而變動。

② 非週期性連續變化

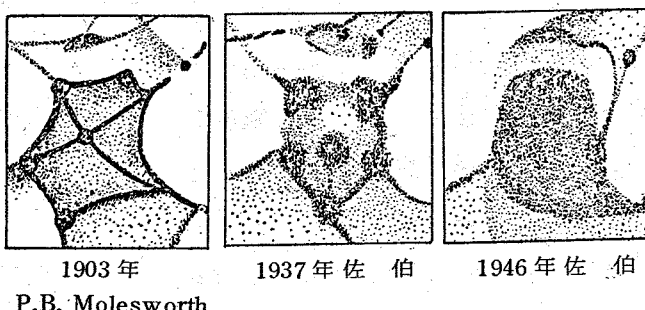


圖 4 阿基達里亞海的變化

太陽湖 (Solis Lacus) 自1877年後三十年都呈橢圓形，但是自1909至1911年間呈瓢形，1913年後再呈橢圓形，1924年又呈瓢形，1926至1929年間變曲玉形，1952年再呈橢圓形，1954年再呈曲玉形，1956年至今呈橢圓形（圖5）。

③ 長年變化

1783年瑪克利灣(Margaritifer S.)西北岸有巨腕狀的Hydaspis Sinus灣向北突出，其先端伸到尼羅湖(Nilacus Lacus)，其後漸漸縮小，於1909年完全消失（圖6）。又如子午線灣(Meridiani S. 又稱Aryn 鈎甲)又有如圖7的變化。

④ 突然變化

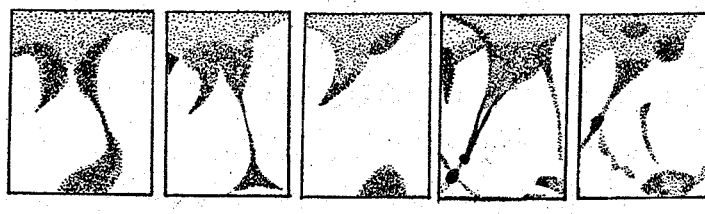
火星面偶而會出現新斑紋，原斑紋外形突然變化，又消失，或復原的現象，令人感覺火星世界是活的。例如火星面

Pambotic Lacus湖平常是直徑約200公里圓斑，從1905年開始變大，到1907年變更大又濃（圖8），但二年後完全恢復原狀。又如卡龍三叉路(Trivium Charontis)的運河北端的大斑點，在1946年2月突然擴大，面積增兩倍大（圖9），兩年後（1950年）恢復原狀。另有莫里斯湖(Moeris Lacus)在1862年很大呈不規則狀，但兩年後變橢圓，1873年時淡化，1909年時變濃橢圓形（圖10）。綜合而言，所謂突然變化現象之中有些可能是雲霧之惡作



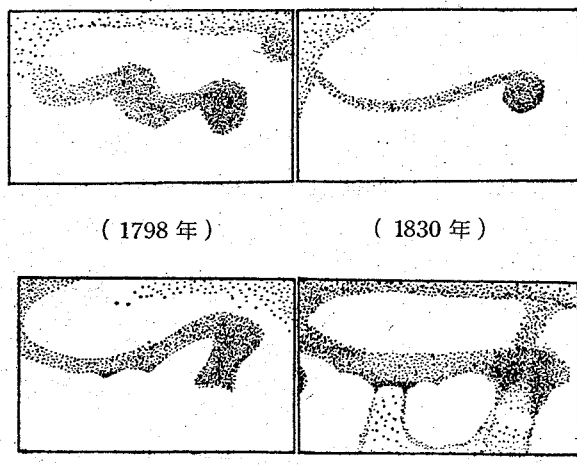
1877 (Schiaparelli) 1924 (Antoniadi) 1926 (Antoniadi)

圖5 太陽湖的變化



(1858年) (1864年) (1905年) (1937年) (1937年)

圖6 Hydaspis Sinus的變化



(1798年) (1830年)
(1862年) (1909年)

圖7 子午線灣的變化

劇，所以必須要慎重。

2 火星上的明斑

火星面的明斑可分為下列四種：

(1) 沙漠

呈現明亮紅橙色光的火星廣大沙漠地帶，有時被覆黃色雲、白雲和霧，小部分呈橙和黃色，一般而言，這部分少有變化。在火星紅外光譜中有矽化合物的吸收線，可證明是沙漠。

A. Dollfus 曾經詳細觀測火星的沙漠地帶的明度，隨火星中央向周邊移動時的變光情形而求光度曲線(圖11)，發現相似褐鐵礦(Limonite)和針鐵礦(Goethite)。雖然從偏光觀測所得的偏光曲線，和針鐵礦不一致，但是和褐鐵礦細粉沉澱物完全一致。根據以上結果，火星沙漠由含氧化鐵的沙蓋覆是明顯的事實。

(2) 圓形的大陸

火星面的 Hellas, Argure, Elysium, Tempe 等圓形白色部稱大陸或高原，平常呈黃白色。到早春和晚秋呈白色，有時反射銳光。火星在天亮時有白輝光，日出後光衰，中午時呈普通的白色，下午後漸漸增白，黃昏時再有白輝光。根據以上現象，火星面的圓形白色部

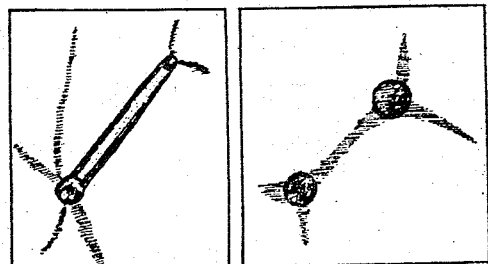


圖 8 Pambotis Lacus 湖的變化



圖 9 卡龍三叉路的變化和蠍湖之出現

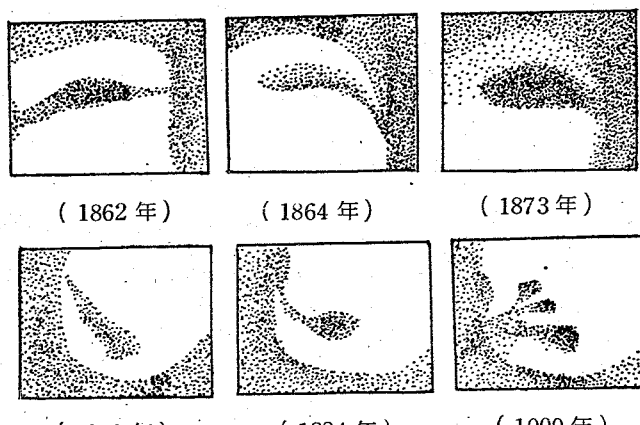


圖 10 莫里斯湖的變化

分可假定為高原。因為高原氣溫低，拂曉和黃昏時有霧和霜，用紅外線觀測也可證明。雲和霜雖然其光輝有差，但是用大型望遠鏡攝影隨時能判別。如此在圓形大陸不斷有雲和霜，但到夏季雲霧消失呈現地面，在陸上有許多斑點和條痕。對這點來說，大陸和大沙漠基本上相同。日本的火星研究家宮本氏推論，大陸群在南半球夏季時會造成低壓帶。根據以上各點而論，火星上的圓形大陸比其他部分寒冷，是高原地帶。

美國加州大學噴射推進研究所的 J.B. Polack 等，利用 1963 年和 1965 年的水手號火星探測機 Mariner IV 接近火星時，作了各部分的雷達觀測，調查其反射電波的強度隨火星自轉變化情形

，和 Sagan 共同發表火星上的暗紋非低窪地，可能是高原的看法並提出如右表 3 數值。如果 Sagan 的新說對的話，從來的想法完全被推翻。Sagan 新說是否對，今後必根據各方面的物理觀測資料慎重考慮。

(3) 白色小斑點

火星面上有白色小斑點並有銳光，以大型望遠鏡可見，最有名是 Nix Atlantica (Nix 是雪原)，其他如 Nix Hesperia, Nix Tanaica, Nix Cydonea, Nix Olympica, Moeris 湖, Nix

Moeris 等。這些白小斑點的特徵是有輝光，位置不變，所以可能是白雪或霜而常存在於特殊地域，這種情形好像非洲的高山頂年中都戴白雪。火星南北極冠溶解時也殘留白斑，可證明極地有高原和臺地。

(4) 島 (Insula)

阿基達里亞海 (Mare Acidalium) 中部的 Sirenum 海，Cimmerium 海，Sabaens 灣等暗紋內部在夏季突然會出現黃色而明亮的斑點，E.M. Antoniadi 命名為島。假設火

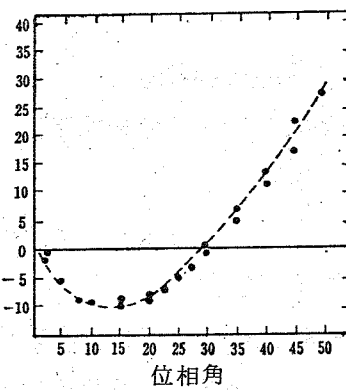


圖 11 火星面明部的偏光曲線

表 3

火 星 暗 紋 名 稱	斜面的傾斜角	高 度
Deuteronilus	> 3°	6Km
Niliacus Lacus	3°	15
Ceraunius	> 4°	6
Trivium Charontis	2°	5
Nepenthes	1°	4
Moeris Lacus	3°	16.5
Syrtis Major	4°	12
Nodus Laocoontis	2°	7

星面的暗部花紋由植物群構成，那麼低窪地有丘陵地並有火星植物，混生不同種植物。若假設火星暗部斑紋是由暗色系統的岩石和沙構成，那麼島是被強風捲吹的砂塵沉留在低窪地，因此顯出黃斑。

綜合以上分析，火星面的花紋和色彩變化是微妙的，必須要使用大口徑的精良望遠鏡，和熟練人員的觀測，應避免隨便的判斷和臆測。

主要參考書籍

1. 佐伯恒夫著：最近の火星観測（恒星社 1965）。
2. 佐伯恒夫著：火星とその観測（恒星社）。
3. 火星通信：No.1～12。
4. C. S. Pittendrigh “Biology and Exploration of MARS” 1966。
5. 長谷川一郎：天體軌道論。
6. 長谷川一郎：天文計算入門。